

OMPI



ORGANIZACIÓN MUNDIAL DE LA PROPIEDAD INTELECTUAL
GINEBRA

SCIT/SDWG/8/4

ORIGINAL: Inglés

FECHA: 23 de febrero de 2007

S

COMITÉ PERMANENTE DE TECNOLOGÍAS DE LA INFORMACIÓN

GRUPO DE TRABAJO SOBRE NORMAS Y DOCUMENTACIÓN

**Octava reunión
Ginebra, 19 a 22 de marzo de 2007**

REVISIÓN DE LA NORMA ST.22 DE LA OMPI (TAREA N.º 37)

Documento preparado por la Secretaría

1. En su séptima reunión, celebrada en mayo/junio de 2006, el Grupo de Trabajo sobre Normas y Documentación (SDWG) del Comité Permanente de Tecnologías de la Información (SCIT) convino en crear una tarea para la revisión de la Norma ST.22 (Tarea N.º 37) de la OMPI, como lo habían propuesto la Oficina Internacional y la Oficina Europea de Patentes. El SDWG creó el Equipo Técnico de la Norma ST.22 a los fines de ocuparse de esa revisión y designó a la Oficina Internacional en calidad de responsable de dicho equipo técnico. El SDWG también pidió al Equipo Técnico:

a) que examine el uso de caracteres distintos a los del alfabeto latino, de manera que la norma pueda aplicarse posteriormente a idiomas que utilizan otro tipo de caracteres;

b) que examine el índice de exactitud del reconocimiento óptico de caracteres (ROC) (actualmente superior al 98,5%) para determinar si debería especificarse un índice de exactitud más elevado;

c) que tenga en consideración qué estilos y tamaños de caracteres deberían recomendarse a los fines de una mayor legibilidad, para la presentación en pantalla, y para el ROC.

(Véanse los párrafos 32 a 38 del documento SCIT/SDWG/7/9)

2. Conforme a la decisión del SDWG anteriormente mencionada, la Oficina Internacional envió la circular C.SCIT 2628, con fecha 23 de junio de 2006, invitando a las oficinas que desearan participar activamente en los debates a designar representantes para integrar el Equipo Técnico de la Norma ST.22.

3. Tras la creación del correspondiente foro electrónico, el Equipo Técnico inició los debates en julio de 2006 sobre la base de una propuesta inicial presentada por el responsable del Equipo Técnico, a los fines de formular una propuesta definitiva sobre la revisión de la Norma ST.22 mencionada en el párrafo 1 del presente documento. El Equipo Técnico debatió la propuesta inicial y formuló varias propuestas revisadas en las que se tenían en cuenta las observaciones efectuadas por sus miembros. De los resultados de dichos debates se deja constancia en la revisión propuesta de la Norma que se expone en el Anexo del presente documento a los fines de su examen y aprobación por el SDWG. En la octava reunión del SDWG, el responsable del Equipo Técnico presentará también un informe verbal al respecto.

4. Cabe observar que, en su séptima reunión, el SDWG convino en que sería menester señalar a la atención de solicitantes, oficinas, proveedores de información comercial y abogados de patentes la revisión de la Norma ST.22. (Véase el párrafo 39 del documento SCIT/SDWG/7/9)

5. *Se invita al SDWG a:*

a) *tomar nota del informe verbal del responsable del Equipo Técnico de la Norma ST.22 mencionado en el párrafo 3 del presente documento;*

b) *examinar y aprobar la propuesta relativa a la revisión de la Norma ST.22 de la OMPI que se expone en el anexo del presente documento; y*

c) *considerar, si procede, la posibilidad de pedir a la Oficina Internacional que elabore una circular para informar a las oficinas de propiedad industrial (OPI) y a los miembros del SDWG sobre la revisión de la Norma ST.22 de la OMPI e invitar a las OPI a publicar un anuncio en sus respectivos boletines de patentes y sitios Web a los fines de notificar a los solicitantes, proveedores de información comercial y abogados de patentes de las respectivas zonas geográficas sobre la norma revisada, como se menciona en el párrafo 4 del presente documento.*

[Sigue el Anexo]

ANEXO

NORMA ST.22

RECOMENDACIÓN RELATIVA A LA ELABORACIÓN DE SOLICITUDES DE PATENTE A LOS FINES DE FACILITAR EL RECONOCIMIENTO ÓPTICO DE CARACTERES (ROC)

Revisión propuesta por el Equipo Técnico de la Norma ST.22

INTRODUCCIÓN

1. La presente recomendación se aplica a las solicitudes de patente presentadas en papel y a las solicitudes de patente presentadas por medios electrónicos (presentación-e), a condición de que el cuerpo del texto de la solicitud se presente en formato imagen (por ejemplo, imágenes PDF o TIFF).
2. La presente recomendación ha sido formulada para contribuir a la preparación de solicitudes de patente mecanografiadas a los fines de un posterior registro digitalizado del contenido de las mismas mediante equipos de reconocimiento óptico de caracteres (ROC).
3. La presente recomendación ha sido formulada sobre la base de la experiencia de varias oficinas en la utilización de equipos de ROC. Ha sido redactada teniendo presente el objetivo de que se produzca el índice más bajo posible de errores en la etapa de lectura automática del texto de las solicitudes de patente y de permitir a la vez una lectura personal y eficaz del documento.
4. La principal finalidad del registro digitalizado de una solicitud de patente es facilitar la publicación de dicha solicitud en un formato compuesto mediante la utilización de técnicas de composición tipográfica por computadora y mejorar así la presentación y la utilidad de los documentos de patente en beneficio de todos los usuarios. Otra de las finalidades es crear una base de datos, legible por máquina, de textos completos de documentos publicados de modo que puedan aprovecharse esas ventajas ulteriormente de entre las posibilidades que ofrece la búsqueda de textos completos por computadora.

DEFINICIÓN

5. A los fines de la presente recomendación, se entenderá por "solicitud de patente" toda solicitud de patente de invención, certificado de inventor, certificado de utilidad, modelo de utilidad, patente o certificado de adición, certificado de inventor de adición y certificado de utilidad de adición.
6. Se considerará que una fórmula matemática o química es "compleja" en la medida en que no pueda exponerse en una secuencia lineal de caracteres por el hecho de que se haya atribuido a cada carácter un superíndice opcional. Se considerará que una fórmula es muy compleja si contiene superíndices insertados o si contiene símbolos matemáticos de sumas, integrales o productos.

CREACIÓN DEL ORIGINAL

7. Para la preparación de las solicitudes de patente se utilizan con frecuencia equipos de procesamiento de textos. La experiencia ha demostrado que el formato más eficaz para la fiabilidad del equipo de ROC es el que se define en la Norma 1073/II de la Organización Internacional de Normalización (ISO), a saber, el llamado formato OCR-B.

SOLICITUDES PRESENTADAS EN PAPEL: SOPORTE

8. A los fines de facilitar la digitalización, el soporte de papel de la solicitud mecanografiada debe reunir las siguientes características:
 - a) papel sólido, blanco y en gran medida exento de celulosa de madera;
 - b) el peso del papel debe oscilar entre 70 y 120 g/m²;
 - c) en cuanto al tamaño de hoja, de preferencia deberá utilizarse el formato A4, es decir, 210 mm x 297 mm o 8 1/2 por 11 pulgadas (norma norteamericana);
 - d) las hojas deberían estar exentas de agujeros y no deben presentar pliegues;
 - e) el papel no debe ser absorbente a los fines de evitar que la tinta se borre (por ejemplo, si se utilizan impresoras de inyección de tinta).

DISPOSICIÓN DE LA PÁGINA: RECOMENDACIONES

9. Para los caracteres debería utilizarse una tinta negra oscura sobre fondo blanco.
10. Se debería dejar un margen mínimo de 2 cm en la parte superior, inferior y lateral de cada página y un margen de 2,5 cm en la parte izquierda de la página. En el margen superior debería figurar la referencia del solicitante o representante. A ese respecto, cabe remitirse al Apéndice 1.
11. Debe evitarse la numeración de líneas. Si se exige la numeración, los números de línea deben mecanografiarse en caracteres arábigos en el margen izquierdo y como mínimo a 1 cm del recuadro, como se muestra en el Apéndice 1. El tamaño de los números deberá ser de 12 puntos como mínimo.
12. Para la numeración de las páginas deberán utilizarse sencillamente los caracteres arábigos, sin tener que utilizar otros caracteres que delimiten. De preferencia, los números de página deberán ir centrados en la parte superior o inferior de la página, en el margen estipulado, como se muestra en el Apéndice 1.
13. La descripción, las reivindicaciones y el resumen deben figurar en páginas separadas. Además, en las primeras palabras impresas de la primera página de cada una de las tres partes mencionadas de la solicitud deberá especificarse la parte correspondiente (en el idioma de la solicitud); los párrafos de las reivindicaciones deberían numerarse de forma secuencial. De preferencia, para la numeración de las reivindicaciones deberían utilizarse números decimales seguidos de un punto y una tabulación.
14. Las páginas deben consistir en una única columna de párrafos (párrafos de texto o párrafos que contengan imágenes integradas).
15. Para las páginas que contengan párrafos debe utilizarse la orientación vertical.
16. Debe evitarse la orientación horizontal. Sólo debe aceptarse esa orientación para las páginas que contengan dibujos o cuadros integrados que no cabrían de forma vertical.
17. El texto de las páginas deberá estar únicamente en una dirección.
18. Las páginas con orientación horizontal apaisada deben girarse a 90° en el sentido contrario de las agujas del reloj a fin de su integración dentro del conjunto de páginas de orientación vertical.
19. Debe evitarse la utilización de notas a pie de página, pie de páginas, textos al margen y encabezamientos (excepto para la numeración de páginas).

DISPOSICIÓN DE LOS PÁRRAFOS: RECOMENDACIONES

20. Las líneas de texto no deben contener cuadros ni formulas químicas o matemáticas complejas.
21. En la medida de lo posible, las imágenes y los dibujos deberían incluirse en la sección "Dibujos" de la solicitud de patentes. Si se precisan imágenes integradas para contribuir a la presentación y mejorar la comprensión de las secciones dedicadas a la "descripción" y "reivindicaciones" de la solicitud de patente, deben poder separarse fácilmente de los párrafos íntegramente en texto. Se aconseja separar esas imágenes de la línea de texto de arriba y de abajo utilizando márgenes en blanco, partiéndose de una altura mínima de 1 cm que abarque toda la anchura de la página; puede que un texto que figure en la misma ubicación horizontal que una imagen integrada no sea reconocido en tanto que texto sino como parte de la imagen.
22. Deben poder separarse fácilmente los cuadros de los párrafos que consistan íntegramente en texto. Se aconseja separar los cuadros de las líneas superior e inferior de los mismos utilizando márgenes en blanco, partiendo de una altura mínima de 1 cm que abarque toda la anchura de la página; los párrafos de los textos no deben figurar de forma adyacente horizontal a los cuadros.
23. Deben evitarse los párrafos o anotaciones escritos a mano. En caso de ser necesarios, serían considerados en tanto que dibujos integrados, para lo cual debe seguirse la recomendación que figura en el párrafo 21.
24. En el mecanografiado debe dejarse un espacio de una línea y media.
25. Los párrafos deben ir separados mediante un espacio que sea como mínimo dos veces tan grande como el espacio que se utilice para las líneas dentro de un párrafo.
26. Deberán alinearse con cuidado las líneas base de todos los caracteres de las líneas de párrafo.
27. Deben evitarse los párrafos de texto justificados. Si se utiliza la justificación, el espacio que se deje entre las palabras debe ser como mínimo del mismo tamaño que el del texto no justificado. Todo texto justificado puede impedir que un sistema de ROC identifique correctamente el final de las palabras de un párrafo.
28. Deben evitarse los cortes de palabra utilizando guiones (por ejemplo, al final de líneas o casillas de cuadros).

CUADROS: RECOMENDACIONES

29. Sólo deben utilizarse fondos en blanco.
30. Los cuadros deben tener borde. Los bordes deben ser más anchos que 1,5 puntos y sólo deben utilizarse líneas continuas.

CARACTERES: RECOMENDACIONES

31. El tamaño mínimo que se recomienda para los caracteres es 12 puntos, aunque se prefiere un tamaño de 14 puntos. Por norma general, todos los caracteres de un párrafo deben ser del mismo tamaño.
32. En los párrafos de texto que contengan subíndices y superíndices debe utilizarse un tamaño de caracteres de 12 puntos como mínimo, siendo recomendable utilizar caracteres de 14 puntos (cuanto mayores, mejor). Debe velarse por que la caja de delimitación de los subíndices o superíndices se alinee al máximo con la caja de delimitación de los caracteres normales de la misma línea (así el sistema de ROC no podrá poner los subíndices/superíndices en diferentes líneas).
33. A continuación figuran, por orden de preferencia, el tipo de caracteres recomendados:
- caracteres monoespacio: ROC-B, Courier New
 - caracteres Serif: ITC Oficina Serif, Times New Roman
 - caracteres Sans Serif: Verdana, ITC Oficina Sans, Arial

Ahora bien, no se recomienda utilizar los tipos Arial y Times New Roman para las solicitudes que contengan fórmulas químicas y/o matemáticas así como siglas en las que se combinen letras y dígitos. En lo que respecta a los caracteres chinos, se recomiendan los caracteres del tipo Song.

34. Debe velarse por que los caracteres estén bien conformados y sin sombras. Los espacios entre caracteres deben ser suficientemente amplios (deben evitarse los pequeños espacios).
35. Debe evitarse al máximo la utilización de caracteres inusuales. En caso de que sea necesario recurrir a caracteres inusuales, debe utilizarse de preferencia el alfabeto griego normal y los símbolos (por orden de preferencia). No deben utilizarse caracteres que no figuren en la gama UNICODE; los sistemas de ROC identifican esos caracteres como imágenes integradas y, por consiguiente, dificultan la lectura del texto. Cada oficina definirá y publicará el conjunto de caracteres que desee sean utilizados para la preparación de solicitudes.
36. No deben utilizarse caracteres estrechos y en cursiva.
37. No deben subrayarse los textos. En caso de que fuera necesario, deberá velarse por que el subrayado no esté pegado a la caja de delimitación de los caracteres en cuestión.
38. Debe evitarse tanto como sea posible la utilización de la negrita y la cursiva.

IDIOMAS NO LATINOS: RECOMENDACIONES

39. Dentro de una misma sección/página de las solicitudes de patentes, la combinación de idiomas latinos y no latinos plantea problemas para el procedimiento de ROC, por lo que debe de evitarse.

CORRECCIONES

40. Para la corrección del texto de una solicitud debe reimprimirse la página en su totalidad. No se aceptarán correcciones realizadas tras la lectura de textos, por ejemplo, las que se mencionan en la norma internacional ISO 5776. No se aceptarán métodos de corrección como los líquidos, los adhesivos de papel, los borradores y las tachaduras. Las páginas que sean reemplazadas no podrán ser enviadas por fax a la oficina utilizando una resolución de 200 dpi. Esas páginas deberán ser enviadas en su forma original o como apéndice a un mensaje de correo electrónico.

RECOMENDACIONES PARA LAS OFICINAS

41. Las oficinas de patentes deben evitar la modificación de las páginas recibidas antes de que sean objeto de digitalización y procedimientos de ROC. Por ejemplo, algunas oficinas observan prácticas como la de sellar las solicitudes, lo que puede suponer la adición de caracteres en páginas, con lo que los textos que someta el solicitante pueden ser ilegibles mediante procedimientos de ROC. En la medida en que deban realizarse sellados o introducirse cambios en las páginas originales, las oficinas deberán tomar medidas a los fines de que dichos cambios sólo se realicen en los márgenes del documento, como se explica en el Apéndice 1.

SCIT/SDWG/8/4
Anexo, página 4

PUESTA EN PRÁCTICA

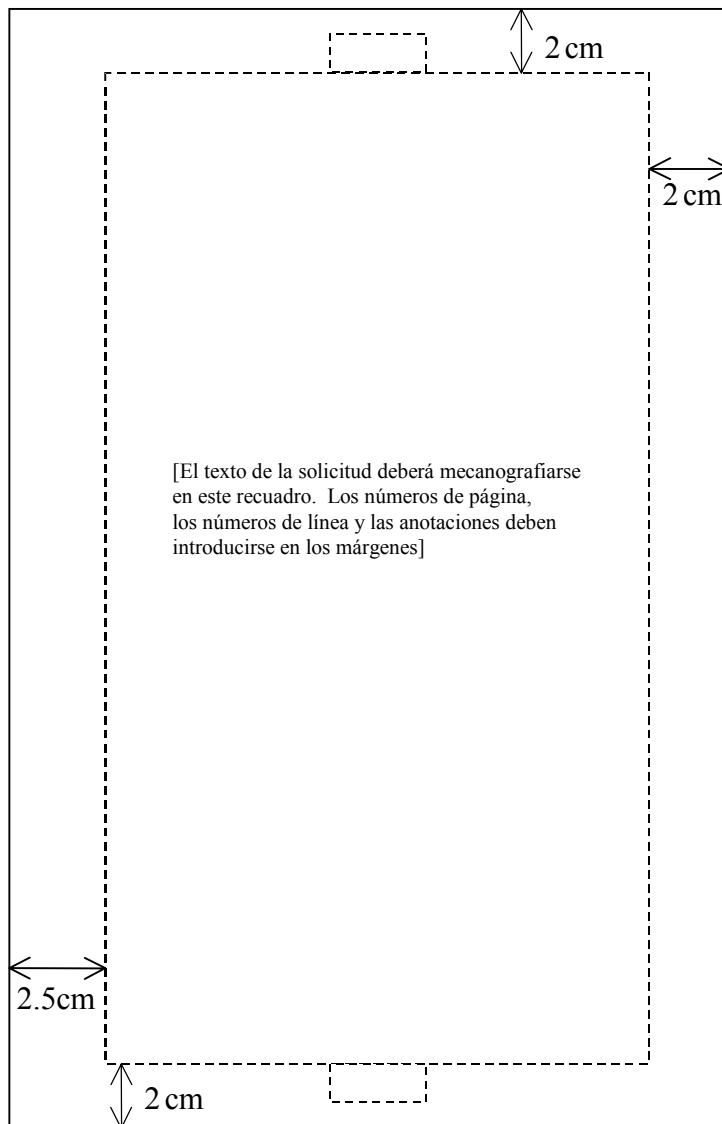
42. Se recomienda que las oficinas que tengan previsto empezar a aceptar o a solicitar que las solicitudes de patente se presenten en formato ROC publiquen regularmente orientaciones completas en sus boletines oficiales y en sus sitios Web, en las que se definan el o los tipos de caracteres autorizados y se especifique el tamaño de papel exacto.

Ejemplos

43. En el Apéndice 2 de la presente recomendación se exponen ejemplos de buenas y malas prácticas en lo que respecta al ROC. En dichos ejemplos puede verse lo que debe o no hacerse, a lo que viene a añadirse una breve explicación.

[Siguen los Apéndices]

APÉNDICE 1



Tamaño original = A4

[Sigue el Apéndice 2]

APÉNDICE 2

EJEMPLOS DE BUENAS Y MALAS PRÁCTICAS

En el presente apéndice figuran ejemplos de páginas de documentos de patente bien o mal presentadas en lo que respecta a la exactitud que se obtiene si son objeto de procedimientos de ROC.

EJEMPLOS DE BUENAS PRÁCTICAS

1. Ejemplo de página de descripción bien presentada

WO 2006/111319

PCT/EP2006/003401

Projection exposure system, method for manufacturing a micro-structured structural member by the aid of such a projection exposure system and polarization-optical element adapted for use in such a system

5

The invention relates to a projection exposure system, in particular for micro-lithography. The invention further relates to a method for manufacturing a micro-structured component and a polarization-optical element for the extreme ultraviolet (EUV) region.

10

For highest possible precision of the optical image to be obtained in complicated optical instruments such as a projection exposure system, the influence of the polarization of the light must be considered or, respectively, the polarization must be influenced specifically. For example, in particular
15 in case of great incidence angles, polarization effects occur in the mirror systems, which projection exposure systems in the EUV region are based on, for lack of suitable transparent materials. These polarization effects are in particular due to the varying reflectivity of the mirrors for s-polarized and p-polarized light and can give rise to imaging errors or other undesired
20 effects. Efforts have been made to measure possible polarization effects in the individual components of projection exposure systems.

For example, EP 1 306 665 A2 discloses an optical instrument for measuring polarization-dependent properties which comprises a light source in the
25 EUV or X-radiation region and a rotatable polarizer. The polarizer is substantially comprised of a set of mirrors that reflects the incident light at least three times. The mirrors are arranged in such a way that the optical axes of the incident and emergent light are on the same straight line.

SCIT/SDWG/8/4
Anexo
Apéndice 2, página 2

2. Ejemplo de reivindicaciones bien presentadas

WO 2006/111319

PCT/EP2006/003401

- 25 -

Claims

1. A projection exposure system, in particular for micro-lithography, comprising a light source (18) for producing light in the EUV region; a first
5 optical system (19, 20, 21, 22, 23, 24) for illuminating a mask (25) by the light of the light source (18); and a second optical system (26, 27, 28, 29, 30) for imaging the mask (25) on a structural member (32); wherein at least one polarization-optical element (1) for the EUV region is disposed on the beam path between the light source (18) and the structural member (32),
10 said at least one polarization-optical element comprising at least one reflective cone surface (3, 7, 12, 14), having a polarizing effect for the light produced by said light source.
2. Projection exposure system according to claim 1, wherein the polarization-optical element comprises
15 - at least one cone element (2) having an outer cone surface (3) being reflective for at least a given polarization component of the EUV light being incident under an angle of inclination α to the axis of rotational symmetry of the cone surface in a region of inclination angles α between 0° and a maximum angle of inclination such that the cone surface (3) has a polarizing effect, and
20 - having at least one further reflective component (4; 11, 13) for the EUV light to bundle the EUV light being reflected from the outer cone surface (3) of the cone element (2).
- 25 3. Projection exposure system according to claim 1 or 2, wherein the polarization-optical element comprises
- at least one further cone element (6) having an outer cone surface (3) being reflective for at least a given polarization component of the EUV

Aquí se cumplen todas las recomendaciones, a saber: los márgenes, el tipo de caracteres estándar (*Times New Roman*), buen tamaño de caracteres, número de línea suficientemente grande y separado del texto, sin justificación de márgenes, utilización limitada de la negrita, ausencia de cursiva y de textos subrayados...

SCIT/SDWG/8/4
Anexo
Apéndice 2, página 3

3. Ejemplo de página de descripción compleja bien presentada

WO 2006/102655

PCT/US2006/011076

[0134] When performing the first iteration of step S9-4, the values of D_a , A_a , D_b and A_b are the values previously calculated at step S7-2, while all values of λ_n are zero.

[0135] The equations used by solver 244 at step S9-6 comprise the following in this embodiment:

5

$$\text{if } (\lambda_{x,y,z-\max}^{n+1})_{ang \& lin} < 0 \text{ then } \lambda_{x,y,z-\max}^{n+1} = 0 \quad (46)$$

$$\text{if } (\lambda_{x,y,z-\min}^{n+1})_{ang \& lin} > 0 \text{ then } \lambda_{x,y,z-\min}^{n+1} = 0 \quad (47)$$

$$\lambda_{lin}^{n+1} = \lambda_{lin-\min}^{n+1} + \lambda_{lin-\max}^{n+1} \quad (48)$$

$$\lambda_{ang}^{n+1} = \lambda_{ang-\min}^{n+1} + \lambda_{ang-\max}^{n+1} \quad (49)$$

[0136] The equations used by solver 244 at step S9-8 comprise the following in this embodiment:

10

$$D_a^{n+1} = D_a^n + L \frac{(\lambda_{lin}^{n+1} - \lambda_{lin}^n)}{m_a} \quad (50)$$

$$A_a^{n+1} = A_a^n + I_a^{-1} [r_a^s] L (\lambda_{lin}^{n+1} - \lambda_{lin}^n) + I_a^{-1} T (\lambda_{ang}^{n+1} - \lambda_{ang}^n) \quad (51)$$

$$D_b^{n+1} = D_b^n - L \frac{(\lambda_{lin}^{n+1} - \lambda_{lin}^n)}{m_b} \quad (52)$$

$$A_b^{n+1} = A_b^n - I_b^{-1} [r_b^s] L (\lambda_{lin}^{n+1} - \lambda_{lin}^n) - I_b^{-1} T (\lambda_{ang}^{n+1} - \lambda_{ang}^n) \quad (53)$$

[0137] Referring again to Figure 7, at step S7-6, solver 244 performs a convergence test.

In this embodiment, solver 244 performs processing to determine whether the values of λ calculated for the current iteration differ from the values of λ calculated for the previous iteration by more than a predetermined threshold, in accordance with the following equation:

$$\sum_x \frac{(\lambda^{n+1} - \lambda^n)^2}{\lambda^{n2}} \leq \text{Threshold} \quad (54)$$

[0138] In this embodiment, the threshold employed in Equation (54) is set to 10^{-4} .

[0139] At step S7-8, solver 244 determines whether a predetermined number of iterations of the processing at steps S7-2 to S7-8 have been performed. In this embodiment, solver 244 determines whether 50 iterations have been performed.

SCIT/SDWG/8/4
Anexo
Apéndice 2, página 4

EJEMPLOS DE MALAS PRÁCTICAS

1. Página de mala calidad con gran número de defectos

WO 2005/060413

PCT/US2004/033203

LOGICAL VIEW REPORT

LOGICAL VIEW REPORT

DESCRIPTION

This is the high-level architecture for the POST Tools system. The logical view of the high-level architecture is the conceptual view, employing the SEI ABD decomposition representation of design elements, implementations, templates, requirements, decisions, and constraints.

ARCHITECTURE

The Architecture package consists of the functional subsystem decomposition in design elements and implementations, the templates corresponding to each subsystem, and the deployment and concurrency views of the architecture.

DESIGN STATUS

The conceptual architecture subsystems are design elements and design element branches representing successive decompositions in a tree. These design elements are decomposed by functionality, quality scenarios, and constraints.

BROWSER SERVICES

The user's desktop PC browser implements the save, print and view report functionalities. This includes the capabilities provided by browser plug-ins.

DATABASE OPERATIONS

An SQL database query and result set, using Java and JDBC/ODBC.

DEPENDENT OBJECTS (SERVICES)

The system employs a standard HTTP interface for client-server communication.

JAVASAPPLETS

This is a generic implementation class representing a Java applet. In our design the applet probably is implemented within the Silver Stream application server development and run-time environment.

DEVELOPERS

This implementation suggests any Java component in a plug-in style component framework, such as a Java Bean or an Enterprise Java Bean.

SERVERS/CLIENTS

This implementation suggests any Java Servlet managed by an application server or web server. Java Server Pages implementations might also be suitable alternatives.

POSTTOOLS

This class represents the top-level design element in our architecture, representing all functionality from Vision and stakeholder input, legacy system constraints, inter-project operation and dependencies, and other contributing factors. We decompose all ABD functionality from this design element.

TABLELOOKUP

This is a generic implementation class suggesting that the system performs a table lookup to find a component given an index key.

No se ha respetado lo estipulado en el párrafo 9 (esta página fue presentada probablemente por fax a la oficina con una resolución de 200 dpi: cabe observar que el "ruido" y parte del texto figuran en fondos gris oscuro). No se respetan tampoco los párrafos 10 y 41; se ha sellado con un número de referencia (604115530.100802) el cuerpo de la página (en vez del margen). La numeración de página tampoco es correcta (tendría que ser 9 y no "page 9"; véase el párrafo 12). Por último, aun cuando no menos importante, el tamaño de los caracteres es demasiado pequeño (párrafo 31). Lo mejor sería que dichas páginas no fueran aceptadas por las oficinas y que se solicitara la sustitución de las mismas (no es posible aplicar un procedimiento de ROC a esta página).

2. Página con fondo no blanco

WO 2005/097403

- 13 -


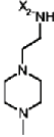
PCT/FR2005/050194

REVENDEICATIONS

1. Dispositif d'usinage (D) du type de celui associant une machine-outil d'usinage (100) à un dispositif porte-pièce (200) équipé d'un axe de mise en mouvement de rotation transversal (A) par rapport à l'axe de plongée (Z), CARACTÉRISÉ PAR LE FAIT QUE le dispositif porte-pièce (200) est constitué par un bâti (210) supportant deux paliers de guidage (210 et 230) en rotation selon ledit axe de rotation transversal (A), la structure formée par le bâti (210) et les deux paliers (220 et 230) étant fermée par la pièce à usiner (300) dont les extrémités viennent se fixer auxdits paliers (310 et 220), la pièce à usiner (300) étant une pièce longue du type de celle comportant des surfaces à usiner concentrées à ses deux extrémités ET PAR LE FAIT QUE la machine-outil (100) est du type de celle assurant la mise en mouvement de deux coulants porte-outil indépendants (110 et 120) de façon à ce que les usinages des deux extrémités de la pièce (300) soient réalisés par un coulant différent.
2. Dispositif d'usinage (D) selon la revendication 1, CARACTÉRISÉ PAR LE FAIT QUE chaque palier (220 et 230) comprend et guide un plateau tournant (221 et 231) équipé d'un moyen de mise en mouvement motorisé, la rotation des deux plateaux (221 et 231) étant synchronisée.
3. Dispositif (D) selon la revendication 2, CARACTÉRISÉ PAR LE FAIT QUE chaque plateau (220 et 230) est équipé de deux appuis (410, 420 et 510, 520) pour accueillir et maintenir en position l'extrémité de la pièce (300).
4. Dispositif (D) selon la revendication 1, CARACTÉRISÉ PAR LE FAIT QUE le bâti (210) du dispositif porte-pièce (200) est lui-même monté mobile en rotation selon un axe (B) perpendiculaire à l'axe (A) de rotation défini par les deux paliers (220 et 230) qu'il supporte.
5. Procédé d'usinage d'une pièce longue (300) du type de celle comportant des surfaces à usiner concentrées à

No se respeta el párrafo 9. La página debe ser objeto de filtro para intentar suprimir el ruido de segundo plano antes de poder utilizar procedimientos de ROC. Si se aplicaran procedimientos de ROC se obtendría un texto ilegible.

3. Página con caracteres poco claros

#	R2	A	UV max [nm]:	MS (ESI) (M+H) ⁺	
25			305, 350	476	Trihyc 1,41 (m, 2H) (m, 1H)

Beispiele 26-40

Die folgenden Verbindungen sind über ein analoges Verfahren beschrieben, hergestellt. Die Herstellung des Benzolamids ist ebenfalls

5 beschrieben. Das für die Darstellung des Amids ein

Se ha ampliado una pequeña parte de la página para mostrar los caracteres; es probable que el color del texto original fuera gris, a raíz de la digitalización en una resolución de 300 dpi en blanco y negro en caracteres que no son sólidos. La exactitud del texto objeto de ROC resulta así escasa (no se respeta el párrafo 9).

4. Página con texto escrito a mano

TITLED : JIG HEAD SWAY BAR

BACK GROUND

IN THE ART OF FISHING THERE IS A PIECE OF TACKLE KNOWN AS A PIVOT-HEAD JIG WHICH USES SPECIALIZED OR SPECIFICALLY SHAPED HOOKS TO PROVIDE AN ACTION PRODUCING LURE COMBINATION. MY INVENTION THE SWAYBAR ALLEVIATES THIS NEED FOR SPECIAL HOOKS BY BEING ABLE TO BOTH SUPPORT THE JIG HEAD AND ALLOW FOR CONNECTION OF OTHER REQUIRED TACKLE

Como es de esperar, el texto obtenido tras un procedimiento de ROC de esta página es ilegible. Las oficinas deberían exigir que los textos sean mecanografiados a los fines de garantizar una calidad mínima en la publicación.

SCIT/SDWG/8/4
Anexo
Apéndice 2, página 7

5. Página en la que no se cumplen las recomendaciones en materia de disposición y que presenta otros defectos

WO 2005/086760

PCT/US2005/007335

38

relation to the determination of AN by FTIR spectroscopy

This concept is illustrated in Figure 1 for AN, the BN analysis being analogous but using a different reagent. Differential spectroscopy is then used to eliminate the spectral contributions from the base oil and any additives and/or contaminants and breakdown products present in the oil that may spectrally interfere with the measurement of the signal from the reaction product. This is achieved by treating a portion of the sample with a blank reagent, this portion effectively serving as a reference oil. Figure 2 illustrates the general analytical protocol.

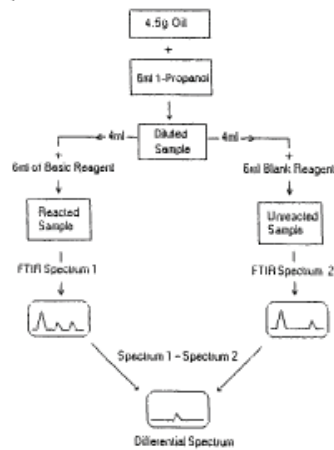


Figure 2. Analytical protocol for the determination of AN by FTIR spectroscopy.

In this procedure, the sample is first diluted with an innocuous solvent (1-propanol), then split and treated with a

reactive and a blank reagent to produce two samples for spectral analysis. Since these two samples are the same except for the reaction products, subtraction of their spectra leaves only the spectral contribution related to AN.

The COAT AN/BN Analyzer

The COAT AN/BN Analyzer has been designed and programmed to automate AN/BN analyses based on the concepts laid out above. Figure 3 illustrates key components of the COAT AN/BN Analyzer: an FTIR spectrometer, a sample handling accessory, an autosampler, and the computer that controls the system.

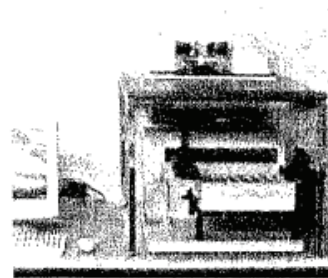


Figure 3. The COAT AN/BN Analyzer and its key components

The compact nature of the sample handling system is made possible by the dilution of the sample in the analytical protocol (Figure 2), allowing a micropump to be substituted for the peristaltic pump employed in most FTIR used oil analyzers. The resulting low viscosity of the sample dramatically

3

En esta página no se respeta el párrafo 14 (formato en una única columna), se utilizan caracteres en cursiva y en negrita (incumplimiento del párrafo 38), se han efectuado correcciones a mano tras la impresión (incumplimiento del párrafo 40). La justificación de izquierda a derecha del párrafo tampoco se adapta a lo recomendado (párrafo 27) aunque en este caso no repercutiría negativamente en el ROC habida cuenta de que se ha dejado suficiente espacio en blanco entre las palabras. Tampoco se respeta el párrafo 24 (espacio de una línea y media).

SCIT/SDWG/8/4
Anexo
Apéndice 2, página 8

6. Página con números de línea demasiado pequeños

WO 2004/110497 PCT/US2004/013820

5 [0028] Figs. 9A-9B are plots showing the percent of mitomycin C released from liposomes comprised of HSPC/mPEG-DSPE/lipid-DTB-mitomycin C (Fig. 9A) and HSPC/cholesterol/mPEG-DSPE/lipid-DTB-mitomycin C (Fig. 9B) as a function of time of incubation in the presence of cysteine at concentrations of 150 μ M (closed symbols) and at 1.5 mM (open symbols);

10 [0029] Fig. 10 is a plot of growth rate of M109 cells, expressed as a percentage based on growth of M109 cells in the absence of drug and cysteine, as a function of mitomycin C amount, in nM, for free mitomycin c (open triangles), liposomes comprised of HSPC/mPEG-DSPE/lipid-DTB-mitomycin C (closed squares), and liposomes comprised of HSPC/cholesterol/mPEG-DSPE/lipid-DTB-mitomycin C (open circles);

15 [0030] Fig. 11A is a plot of growth rate of M109 cells, expressed as a percentage based on growth of M109 cells in the absence of drug or cysteine, as a function of mitomycin C concentration in nM. Shown are cells treated mitomycin C in free form (open triangles) and with mitomycin C in free form plus 1000 μ M cystein (closed triangles). Also shown are cells treated with the liposome formulation comprised of HSPC/PEG-DSPE/lipid-DTB-mitomycin C (open circles) and with the liposome formulation with additional cysteine added at concentrations of 150 μ M (open diamonds), 500 μ M (closed circles) and 1000 μ M (open squares);

20 [0031] Fig. 11B is a plot of growth rate of M109 cells, expressed as a percentage based on growth of M109 cells in the absence of drug or cysteine, as a function of mitomycin C concentration in nM. Shown are cells treated mitomycin C in free form (open triangles) and with mitomycin C in free form plus 1000 μ M cysteine (closed triangles). Also shown are cells treated with the liposome formulation comprised of HSPC/cholesterol/mPEG-DSPE/lipid-DTB-mitomycin C (open circles) and with the liposome formulation with additional cysteine added at concentrations of 150 μ M (open diamonds), 500 μ M (closed circles) and 1000 μ M (open squares);

25 [0032] Fig. 12 is a plot showing the percent increase in cytotoxicity (as determined by $(IC_{50, \text{no cysteine}}/IC_{50, \text{cysteine}}) \times 100$) of free mitomycin C (closed squares), mitomycin C associated with liposomes comprised of HSPC/cholesterol/mPEG-DSPE/lipid-DTB-mitomycin C (closed circles), and liposomes comprised of HSPC/mPEG-DSPE/lipid-DTB-mitomycin C (open triangles) to M109 cells *in vitro* at various concentrations of cysteine;

30 [0033] Fig. 13A is a plot showing the concentration of mitomycin C in the blood of

Los números de línea plantean problemas en los procedimientos de ROC por varias razones (párrafo 11):

- En la medida en que no estén alineados con las líneas correspondientes, lo que se traduce en errores de detección de la línea base.
- Pueden ser demasiado pequeños, provocando así errores de reconocimiento que impedirían suprimirlos debidamente del cuerpo del texto de la página mediante procedimientos de extracción XML.
- Pueden estar mal ubicados en la parte texto de la página, o estar ubicados en los márgenes pero demasiado cerca del texto, y a raíz de ello podrían aparecer en todo el texto extraído mediante procedimientos de ROC.

En este ejemplo, son demasiado pequeños.

En este ejemplo, los subíndices son también demasiado pequeños (párrafo 32).

SCIT/SDWG/8/4
Anexo
Apéndice 2, página 9

7. Página con texto en varias direcciones

WO 2005/081642

PCT/JP2005/003688

Table 11 (continued-2)

	Amount in retardation-controlling agent solution (mass parts)					Amount in UV absorber solution (mass parts)						Mixing ratio of solutions			
	Retardation-control agent A-2	Retardation-control agent A-12	Retardation-control agent B	Retardation-control agent C	Retardation-control agent D	UV absorber A	UV absorber B	UV absorber C	UV absorber D	UV absorber E	UV absorber F	Cellulose acetate solution	Matting agent solution	Retardation-controlling agent solution	UV absorber solution
This invention		6	14							15	94.6	1.2	6.2	1.3	
This invention	3	3	14							15	94.6	1.2	7.0	3.2	
This invention	5	5	10							15	94.6	1.2	6.2	0.8	
This invention		5			15	4.8	10.2				94.6	1.2	6.2	0.8	
This invention		10			10	4.8	10.2				94.6	1.2	6.2	0.8	
This invention					15	4.8	10.2				94.6	1.2	6.2	0.8	
Comparative example	10	10									94.6	1.2	6.6	0	
Comparative example			20								94.6	1.2	4.1	0	
Comparative example								5	10		94.6	1.2	0	6.3	
Comparative example	10	10				10.5	4.5				94.6	1.2	7.1	0.8	
Comparative example	10	10				10.5	4.5				94.6	1.2	7.1	0.8	

En este ejemplo no se respeta el párrafo 17.

Una de las limitaciones que todavía tienen los mejores sistemas de ROC disponibles en la actualidad es que sólo permiten leer el texto de una página en una dirección (se procede a un procesamiento previo de la página para detectar la orientación principal del texto de la página). A raíz de ello, no se tienen en cuenta ninguna de las palabras que no estén ubicadas en la dirección principal del texto. Es evidente que en una página puede haber un cuadro apaisado o incluso un texto principal apaisado con anotaciones verticales en los márgenes (número de página, número de solicitud, etc.).

8. Página con combinación de fórmulas matemáticas integradas y texto

19

$$\Delta \mathbf{L} = \frac{\hbar}{2} - \mathbf{r} \times e\mathbf{A} \quad (33)$$

$$= \left[\frac{\hbar}{2} - \frac{e\phi}{2\pi} \right] \hat{z} \quad (34)$$

In order that the change of angular momentum, $\Delta \mathbf{L}$, equals zero, ϕ must be $\Phi_0 = \frac{h}{2e}$, the magnetic flux quantum. The magnetic moment of the electron is parallel or antiparallel to the applied field only. During the spin-flip transition, power must be conserved. Power flow is governed by the Poynting power theorem,

$$\nabla \cdot (\mathbf{E} \times \mathbf{H}) = -\frac{\partial}{\partial t} \left[\frac{1}{2} \mu_0 \mathbf{H} \cdot \mathbf{H} \right] - \frac{\partial}{\partial t} \left[\frac{1}{2} \epsilon_0 \mathbf{E} \cdot \mathbf{E} \right] - \mathbf{J} \cdot \mathbf{E} \quad (35)$$

Eq. (36) gives the total energy of the flip transition which is the sum of the energy of reorientation of the magnetic moment (1st term), the magnetic energy (2nd term), the electric energy (3rd term), and the dissipated energy of a fluxon treading the orbitsphere (4th term), respectively,

$$\Delta E_{\text{mag}}^{\text{spin}} = 2 \left(1 + \frac{\alpha}{2\pi} + \frac{2}{3} \alpha^2 \left(\frac{\alpha}{2\pi} \right) - \frac{4}{3} \left(\frac{\alpha}{2\pi} \right)^2 \right) \mu_B B \quad (36)$$

$$\Delta E_{\text{mag}}^{\text{spin}} = g \mu_B B \quad (37)$$

where the stored magnetic energy corresponding to the $\frac{\partial}{\partial t} \left[\frac{1}{2} \mu_0 \mathbf{H} \cdot \mathbf{H} \right]$ term increases, the stored electric energy corresponding to the $\frac{\partial}{\partial t} \left[\frac{1}{2} \epsilon_0 \mathbf{E} \cdot \mathbf{E} \right]$ term increases, and the $\mathbf{J} \cdot \mathbf{E}$ term is dissipative. The spin-flip transition can be considered as involving a magnetic moment of g times that of a Bohr magneton. The g factor is redesignated the fluxon g factor as opposed to the anomalous g factor. Using $\alpha^{-1} = 137.03603(82)$, the calculated value of $\frac{g}{2}$ is 1.001 159 652 137. The experimental value [23] of $\frac{g}{2}$ is 1.001 159 652 188(4).

1.G. SPIN AND ORBITAL PARAMETERS

The total function that describes the spinning motion of each electron orbitsphere is composed of two functions. One function, the spin function, is spatially uniform over the orbitsphere, spins with a quantized angular velocity, and gives rise to spin angular momentum. The other function, the modulation function, can be spatially uniform—in which case there is no orbital angular momentum and the magnetic moment of the electron orbitsphere is one Bohr magneton—or not spatially uniform—in which case there is orbital angular momentum. The modulation function also rotates with a quantized angular velocity.

The spin function of the electron corresponds to the nonradiative $n = 1, \ell = 0$

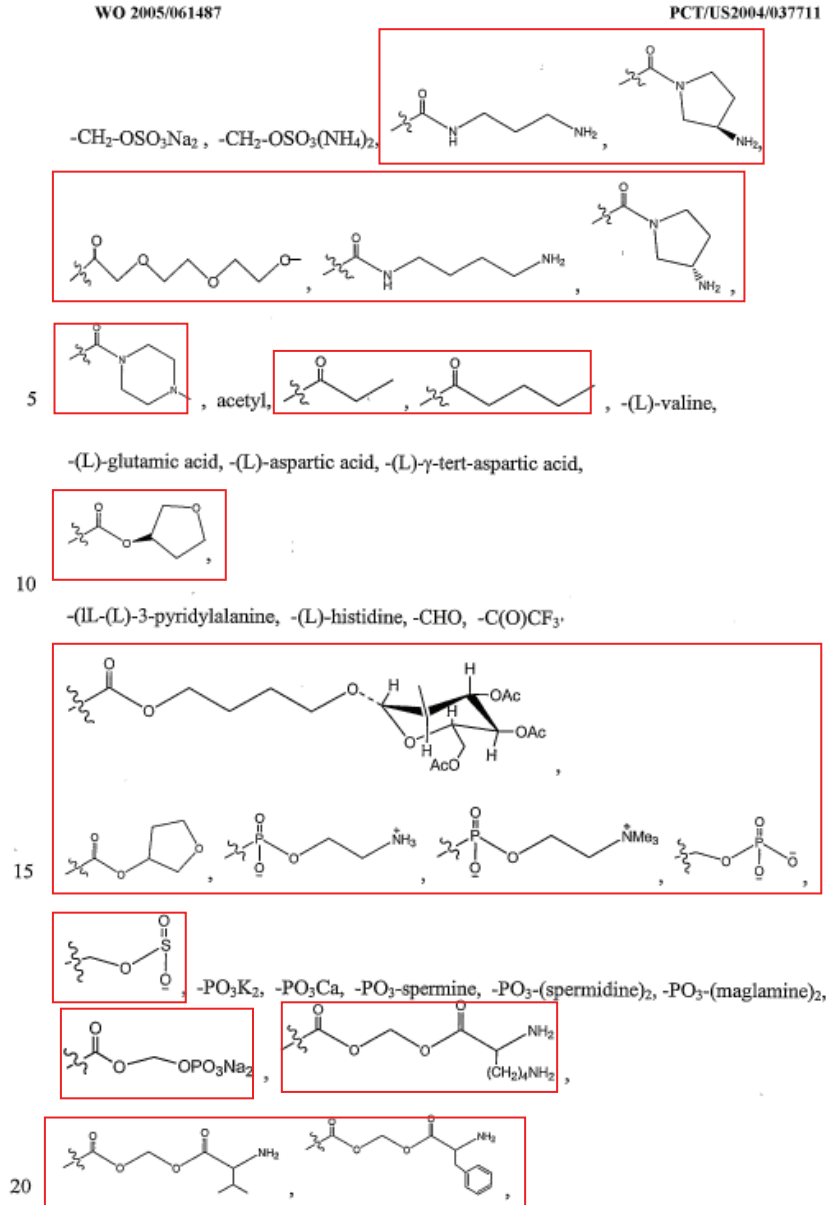
En este ejemplo no se respetan los párrafos 20 y 22. El sistema de ROC no tiene capacidad para separar correctamente el texto de las fórmulas (véase el resultado de la segmentación manual de la fórmula en rojo; las fórmulas incluso se tocan).

A título de comentario en general, en este ejemplo, el texto y las fórmulas son demasiado densos a los fines de un buen reconocimiento; tampoco se respetan los párrafos 24 y 25.

En este ejemplo se utilizan, además, caracteres inusuales; se pueden utilizar símbolos griegos aun cuando hagan más difícil el reconocimiento de la página (véase el párrafo 35). Ahora bien, se recomienda evitar en lo posible la combinación de caracteres en cursiva, negrita y subrayado junto con caracteres inusuales (párrafo 38).

SCIT/SDWG/8/4
Anexo
Apéndice 2, página 11

9. Página con combinación de fórmulas químicas integradas y texto



En este ejemplo no se respetan los párrafos 20 y 21. En el rojo se ve el resultado que cabe esperar de la segmentación de los dibujos (efectuado a mano). Esa segmentación no puede efectuarse correctamente mediante un procedimiento de ROC habida cuenta de que las fórmulas están demasiado cerca del texto.

SCIT/SDWG/8/4
 Anexo
 Apéndice 2, página 12

10. Página con subíndices demasiado pequeños

WO 2005/110416

PCT/US2005/015897

R_1 is hydrogen, C_1 - C_6 alkyl, C_2 - C_6 alkenyl, C_2 - C_6 alkynyl, C_1 - C_6 alkoxy, C_1 - C_6 haloalkyl, C_1 - C_6 haloalkoxy, $(C_2$ - C_7 cycloalkyl) C_6 - C_4 alkyl;
 R_3 is selected from alkoxy, cycloalkoxy, phenyl, 4- to 7-membered heterocycles, $-O(CH_2)_j$ phenyl, $-O(CH_2)_j$ pyridyl, $-E-(CR_C R_D)_n-Q$, and Q , each of which is substituted with between 0 and 3 substituents selected from halogen, cyano, hydroxy, oxo, $(CR_A R_B)_j-T$, C_1 - C_4 alkyl, C_1 - C_4 alkoxy, C_1 - C_4 haloalkyl, C_1 - C_4 haloalkoxy, mono- and di- $(C_1$ - C_4 alkyl)amino, $(C_1$ - C_4 alkyl) $((CR_A R_B)_j-T)$ amino, benzyl, $S(O)_n(C_1$ - C_4 alkyl), α,ω - C_1 - C_4 alkylene, α,ω - C_1 - C_4 alkyleneoxy, α,ω - C_1 - C_4 alkylenedioxy, $-E-(CH_2)_n-Q$, and Q ;
 T is CO_2H , $CONH_2$, C_1 - C_6 alkoxycarbonyl, mono- or di- $(C_1$ - C_6 alkyl)aminocarbonyl, SO_3H , SO_2NH_2 or $SO_2(C_1$ - C_6 alkyl);
 j is an integer ranging from 0 to 6;
 Q is a saturated heterocyclic ring comprising between 4 and 7 ring members, in which the point of attachment is a carbon or nitrogen atom;
 E is O , NR_D , or a single covalent bond;
 R_8 and R_9 are independently chosen from hydrogen, halogen, hydroxy, C_1 - C_6 alkyl, C_1 - C_6 alkenyl, $(C_2$ - C_7 cycloalkyl) C_6 - C_4 alkyl and C_1 - C_6 alkoxy; and
 Ar is phenyl which is mono-, di-, or tri-substituted; or 1-naphthyl, 2-naphthyl, pyridyl, pyrimidinyl, pyrazinyl, pyridizynyl, thienyl, thiazolyl, pyrazolyl, imidazolyl, tetrazolyl, oxazolyl, isoxazolyl, pyrrolyl, furanyl, indolyl, indazolyl, or triazolyl, each of which is optionally mono-, di-, or tri-substituted.

Yet other compounds of Formula VIII include those compounds in which the group designated:



is chosen from naphthyl, tetrahydronaphthyl, benzofuranyl, benzodioxolyl, indanyl, indolyl, indazolyl, benzodioxolyl, benzo[1,4]dioxanyl and benzoxazolyl, each of which is substituted with from 0 to 3 substituents independently chosen from R_8 .

Certain compounds of Formula IX include those in which

Ar is mono-, di-, or tri-substituted phenyl, which phenyl group is substituted with one to three substituents independently chosen from hydroxy, halogen, cyano, amino, nitro, $-COOH$, aminocarbonyl, $-SO_2NH_2$, C_1 - C_6 alkyl, C_1 - C_6 alkenyl, C_1 - C_6 alkynyl, C_1 - C_6 haloalkyl, C_1 - C_6 aminoalkyl, C_1 - C_6 hydroxyalkyl, C_1 - C_6 carboxyalkyl, C_1 - C_6 alkoxy, C_1 - C_6 haloalkoxy, C_1 - C_6 alkylthio, C_1 - C_6 alkanoyl, C_1 - C_6 alkanoyloxy, C_2 - C_7 alkanone, C_1 - C_6 alkyl ether, mono- or di- $(C_1$ - C_6 alkyl)amino, C_6 - C_4 alkyl, $-NHC(=O)(C_1$ - C_6 alkyl), $-N(C_1$ - C_6 alkyl) $C(=O)(C_1$ - C_6 alkyl), $-NHS(O)_n(C_1$ - C_6 alkyl), $-(C_1$ - C_6 alkyl) $C(=O)NH_2$, $-(C_1$ - C_6 alkyl) $C(=O)NH(C_1$ - C_6 alkyl), $-(C_1$ - C_6 alkyl) $C(=O)NH(C_1$ - C_6 alkyl)(C_1- C_6 alkyl), $-S(O)_n(C_1$ - C_6 alkyl), $-S(O)_nNH(C_1$ - C_6 alkyl), $-S(O)_nN(C_1$ - C_6 alkyl)(C_1- C_6 alkyl) and Z ; or

Ejemplo típico de subíndices que son demasiado pequeños a los fines de un reconocimiento preciso. Ese fenómeno se observa muy particularmente en las patentes del campo de la química.

SCIT/SDWG/8/4
 Anexo
 Apéndice 2, página 13

11. Página con cuadros mal formateados

WO 2005/063765

PCT/US2004/043492

Table D

Other compounds of the invention result from selecting appropriate features from the table of possible features below. For example, compound A77 results from the following selections: none-morpholino-aryl-OCH₂(CO)-piperazine-CH₃.

5

Left-hand substituent	Left-hand ring	Aryl or heteroaryl	Ring substituent	Nitrogen feature	Right-hand substituent
CH3	morpholino	aryl	OCH2	NHM	alkyl
isopropyl	piperazine	thiophene	OCH2(CO)	NMM	alkoxy
CH3CH2O(CO)CH2			SO2	morpholino	alcohol
none			OCH2(CO)OCH2	piperazine	substituted amine
				piperidine	acid
				pyrazole	ester
				pyrrolidine	CH ₂ CH ₂ OCH ₃
					CH ₂ CH ₂ OH
					CH ₂ NH ₂
					CH ₂ NHCH ₂ CH ₂ CH ₃
					CH ₂ NHCH ₃
					CH ₂ NHCHCH ₃ CH ₃
					CH ₃
					CHCH ₃ CH ₃
					COOCH ₂ CH ₃
					none

Table E

Other compounds of the invention result from selecting appropriate features from the table of possible features below. For example, compound B3 results from

10 the following selections: none-morpholino-aryl-CH₂-piperazine-CH₂CH₂OH.

Left-hand substituent	Left-hand ring	Aryl or heteroaryl	Ring substituent	Nitrogen feature	Right-hand substituent
CH3	morpholino	aryl	CH2	NHM	alkyl
isopropyl	piperazine	thiophene	CH2CH2	NMM	alkoxy
CH3CH2O(CO)CH2			CH2CH2CH2	morpholino	alcohol
none			CH2CH2CH2CH2	piperazine	substituted amine
				piperidine	acid
				pyrazole	ester
				pyrrolidine	CH ₂ CH ₂ OCH ₃
					CH ₂ CH ₂ OH
					CH ₂ NH ₂
					CH ₂ NHCH ₂ CH ₂ CH ₃
					CH ₂ NHCH ₃
					CH ₂ NHCHCH ₃ CH ₃
					CH ₃

En este ejemplo, faltan los bordes del cuadro (in cumplimiento del párrafo 3). A raíz de ello, el sistema ROC intentará reconocer el contenido de los cuadros a modo de texto de párrafo. Eso se traduce en otros problemas, a saber:

- El tamaño de los caracteres de los cuadros es demasiado pequeño (párrafos 31 y 32).
- Se confunden las líneas base de los encabezamientos de las columnas (párrafo 26). A raíz de ello, el sistema no podrá detectar adecuadamente los subíndices o superíndices.
- En el texto obtenido no se tendrán en cuenta las columnas:

Left-hand Left-Hand Aryl or Nitrogen
 Substituent ring heteroaryl Ring substituent feature Right-hand substituent
 CH3...

12. *Página justificada*

WO 2005/087962

1

PCT/EP2005/002268

GKSS-Forschungszentrum Geesthacht GmbH, Max-Planck-Strabe 1, 21502 Geesthacht

Verfahren zur Herstellung von Profilen aus Leichtmetallwerkstoff mittels Strangpressen

Beschreibung

Die Erfindung betrifft ein Verfahren zur Herstellung von Profilen aus Leichtmetallwerkstoff, insbesondere Magnesiumwerkstoff, mittels Strangpressen, bei dem ein Werkstoffvolumen durch eine Matrize, die die Form des gewünschten Profils bestimmt, zur Ausbildung des Profils gepreßt wird.

Die Herstellung von Profilen aus Leichtmetall- bzw. Leichtmetall-Legierungswerkstoffen mittels eines Strangpreßverfahrens ist eine allgemein eingeführte, bekannte Technologie und wird industriell angewendet. So ist es bekannt, daß konventionell verfügbare Leichtmetall- bzw. Leichtmetall-Knetlegierungen in Form von Gußblöcken durch konventionelles Strangpressen in Profilformen gepreßt werden. Dabei wird der Leichtmetall- bzw. Leichtmetall-Legierungsblock, im folgenden zusammenfassend kurz mit Werkstoffvolumen bezeichnet, bei Temperaturen

En este ejemplo se han justificado los párrafos a la izquierda y a la derecha, lo que, aunque pueda mejorar la presentación del texto, puede entorpecer los procedimientos de ROC si hay poco espacio entre las palabras (párrafo 27). En este ejemplo tampoco se respeta el párrafo 28, en el que se estipula que debe evitarse en toda la medida de lo posible el corte de palabras al final de las líneas (el sistema de ROC a veces no diferencia los guiones fijos de los guiones selectivos, lo que se traduce en palabras con guiones no previstos).

SCIT/SDWG/8/4
Anexo
Apéndice 2, página 15

13. Cuadro con bordes defectuosos

WO 2004/110415

- 60 -

PCT/EP2004/051048

Comp. No.	Exp. No.	Alk ^a	Y	Alk ^b	L	Physical data
106	B2	cb	C=O	-CH ₂ -		2R-trans
107	B3b	cb	C=O	-CH ₂ -		2R-trans
13	B8	cb	C=O			2R-trans, HC(1:3); H ₂ O(1:1)
108	B2	cb	C=O			2R-trans HC(1:2) H ₂ O(1:1)
109	B2	cb	C=O			2R-trans
110	B3b	cb	C=O			[2R-[2α,4β(E)]]
111	B2	cb	C=O			2R-trans

En este ejemplo se observa la mala calidad de los bordes del cuadro en el original recibido antes de proceder a la digitalización. Tras la digitalización, el sistema de ROC no tiene capacidad para detectar correctamente el cuadro y será menester proceder a una segmentación manual de la página. En la medida en que no se proceda a una verificación de la calidad de la página, puede que el texto resultante contenga un gran número de caracteres defectuosos, lo que se traducirá en una menor eficacia de los procedimientos de búsqueda para la indexación del documento.

SCIT/SDWG/8/4
Anexo
Apéndice 2, página 16

14. Subíndices y superíndices mal realizados

WO 2005/100305

PCT/IB2005/000872

-9-

- thiazolyl, pyrazolyl, pyridinyl, pyrimidinyl, purinyl, quinolinyl,
benzofuran and isoquinolinyl.
- p. "heteroaryl, optionally substituted," refers to a heteroaryl moiety as
defined immediately above, in which up to 4 carbon atoms of the
heteroaryl moiety may be substituted with a substituent, each
substituent is independently selected from the group consisting of
halogen, cyano, hydroxy, (C₁-C₆)alkyl, (C₁-C₆)alkoxy, (C₁-C₂)alkyl
substituted with one or more halogens, (C₁-C₂)alkoxy substituted
with one or more halogens, SR^a, and NR^aR^b, in which R^a and R^b are
as defined above.
- q. "heterocycle" or "heterocyclic ring" refers to any 3- or 4-membered
ring containing a heteroatom selected from oxygen, nitrogen and
sulfur; or a 5-, 6-, 7-, 8-, 9-, or 10- membered ring containing 1, 2, or
3 nitrogen atoms; 1 oxygen atom; 1 sulfur atom; 1 nitrogen and
1 sulfur atom; 1 nitrogen and 1 oxygen atom; 2 oxygen atoms in
non-adjacent positions; 1 oxygen and 1 sulfur atom in non-adjacent
positions; or 2 sulfur atoms in non-adjacent positions. The
5-membered ring has 0 to 1 double bonds, the 6- and 7-membered
rings have 0 to 2 double bonds, and the 8, 9, or 10 membered rings
may have 0, 1, 2, or 3 double bonds. The term "heterocyclic" also
includes bicyclic groups in which any of the above heterocyclic rings
is fused to a benzene ring, a cyclohexane or cyclopentane ring or
another heterocyclic ring (for example, indolyl, quinolyl, isoquinolyl,
tetrahydroquinolyl, benzofuryl, dihydrobenzofuryl or benzothienyl
and the like). Heterocyclics include: pyrrolidinyl, tetrahydrofuranlyl,
tetrahydrothiophenyl, piperidinyl, piperazinyl, azepane, azocane,
morpholinyl, isochroamyl and quinolinyl.
- r. "heterocyclic, optionally substituted" refers to a heterocyclic moiety
as defined immediately above, in which up to 4 carbon atoms of the
heterocycle moiety may be substituted with a substituent, each
substituent is independently selected from the group consisting of
halogen, cyano, hydroxy, (C₁-C₆)alkyl, (C₁-C₆)alkoxy, (C₁-C₂)alkyl
substituted with one or more halogens, (C₁-C₂)alkoxy substituted
with one or more halogens, SR^a, and NR^aR^b, in which R^a and R^b are
as defined above. Any nitrogen atom within such a heterocyclic ring

En este ejemplo se observan los siguientes problemas (párrafo 32):

- los subíndices y superíndices son demasiado pequeños;
- los subíndices están ubicados demasiado por debajo de la línea base;
- los superíndices están ubicados demasiado por encima de la línea base.

A raíz de ello, así se reconocen las líneas 33 y 34 del texto utilizando el procedimiento ROC:

"Substituted with one or more halogens, (C -C)alkoxy substituted
1 2
8 8 9 8 9
with one or more halogens, SR , and NR R , in which R and R are"

15. Ejemplo de caracteres inusuales

WO 2006/057705

PCT/0

c = speed of sound in water;

\tilde{z}_u = initial altitude for beam pair u;

$\Delta \varepsilon_{z,u} = \varepsilon_{z,p+1,u} - \varepsilon_{z,p,u}$ = comparable to sway-reduced altitude difference;

$\Delta \varepsilon_{\gamma,u} = \varepsilon_{\gamma,p+1,u} - \varepsilon_{\gamma,p,u}$ = comparable to sway-reduced horizontal displacement;

5 $\varepsilon_{z,p,u}$ = difference of vertical linearization point in ping p, beam pair u, from nominal \tilde{z}_u ;

$\varepsilon_{z,p+1,u}$ = difference of vertical linearization point in ping p+1, beam pair u, nominal \tilde{z}_u ;

10 $\varepsilon_{\gamma,p,u}$ = difference of horizontal-range sample v linearization point in ping u, from the nominal $\gamma_{v,u}$. Note that this is the same for all horizontal samples;

$\varepsilon_{\gamma,p+1,u}$ = difference of horizontal-range sample v linearization point in ping pair u, from the nominal $\gamma_{v,u}$. Note that this is the same for all horizontal samples;

15 $\gamma_{v,u}$ = nominal horizontal offset to horizontal-range sample u for beam pair

En este ejemplo se observan los siguientes problemas:

- Caracteres inusuales: caracteres griegos en cursiva e incluso caracteres con tilde.
- También aquí los subíndices son demasiado pequeños.

La mayor parte de los sistemas de ROC no tienen capacidad para reconocer debidamente todos los caracteres inusuales.

SCIT/SDWG/8/4
Anexo
Apéndice 2, página 18

16. *Ejemplo de letras muy pegadas y poco espacio entre las palabras*

WO 2006/036330

PCT/US2005/028798

23. The method of claim 18, wherein the data is encoded onto the representative transmission symbol by using a modulation method selected from a group consisting of: amplitude modulation, phase modulation, frequency modulation, single-sideband modulation, vestigial-sideband modulation, quadrature amplitude modulation, orthogonal frequency division modulation, pulse-code modulation, pulse-width modulation, pulse-amplitude modulation, pulse-position modulation, pulse-density modulation, frequency-shift keying, and phase-shift keying.
24. The method of claim 18, wherein each of the at least two communication signals is transmitted through a communication medium selected from a group consisting of: a wire medium, a wireless medium, an optical fiber ribbon, a fiber optic cable, a single mode fiber optic cable, a multi-mode fiber optic cable, a twisted pair wire, an unshielded twisted pair wire, a plenum wire, a PVC wire, and a coaxial cable.
25. The method of claim 18, wherein the at least two communication signals are both transmitted wirelessly.
26. The method of claim 18, wherein the at least two communication signals are both transmitted through a wire medium.
27. The method of claim 18, wherein the at least two communication signals are transmitted through a wire medium, and wirelessly.

En este ejemplo no se respetan los párrafos 34 y 36. A raíz de ello, el sistema de ROC no puede distinguir correctamente unas palabras de otras y los resultados del procedimiento de ROC serán inutilizables.

SCIT/SDWG/8/4
Anexo
Apéndice 2, página 19

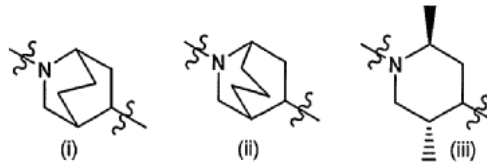
17. Sellado mal efectuado por la oficina receptora antes de la digitalización

WO 2006/058294

PCT/US2005/042931

reagent such as diborane or alkylation of the piperidine nitrogen with an alkyl halide or sulfonate ester provides the desired compounds.

[00176] Additionally, compounds of formulae (I, Ia, and Ib) in which the piperidine ring is replaced by:



En este ejemplo no se respeta el párrafo 41. A raíz de ello, las primeras seis palabras del texto de la página no son legibles mediante el procedimiento de ROC. Además, con el sellado se introducen caracteres adicionales que no son válidos y que repercutirán negativamente en la indexación en la medida en que no se proceda a la verificación de la calidad de la página.

18. Otra página con mala disposición de fórmulas matemáticas

WO 2006/079181

24

PCT/AU2006/000108

probability of the statistical outlier event of a noise only FFT bin magnitude being larger than a FFT bin containing both signal and noise is negligible.

Define,

$$\alpha = \sum_{n=0}^{N-1} r[n] \exp[-j2\pi(\frac{\hat{f}}{f_s} - \frac{1}{2N})n] \quad (9)$$

$$\beta = \sum_{n=0}^{N-1} r[n] \exp[-j2\pi(\frac{\hat{f}}{f_s} + \frac{1}{2N})n] \quad (10)$$

Then the discriminant, or distance metric, of frequency estimation error is defined as,

$$D(\varepsilon, \hat{\varepsilon}) = \frac{|\beta| - |\alpha|}{|\beta| + |\alpha|} \quad (11)$$

$$\text{where, } \varepsilon = fT_s - \frac{k_{\max}}{N} \quad (12)$$

and,

$$\hat{\varepsilon} = \hat{f}T_s - \frac{k_{\max}}{N}$$

For the initial frequency estimate using the FFT, $\hat{f}_0 T_s = \frac{k_{\max}}{N}$ and $\hat{\varepsilon} = 0$.

In the noiseless case,

$$D(\varepsilon, \hat{\varepsilon}) = \begin{cases} -1, & \varepsilon - \hat{\varepsilon} = \frac{-1}{2N} \\ 0, & \varepsilon - \hat{\varepsilon} = 0, \\ 1, & \varepsilon - \hat{\varepsilon} = \frac{1}{2N} \end{cases} \quad (13)$$

$D(\varepsilon, \hat{\varepsilon})$ is a monotonically increasing function of $\varepsilon - \hat{\varepsilon}$. Therefore, each $D(\varepsilon, \hat{\varepsilon})$, there is a unique inverse mapping to $\varepsilon - \hat{\varepsilon}$. Clearly, $D(\varepsilon, \hat{\varepsilon})$ may be used as a discriminant for fine frequency interpolation between FFT bin center frequencies.

There exists some functional relationship such that,

$$\hat{f}_1 T_s = \frac{k_{\max}}{N} + \psi[D(\varepsilon, \hat{\varepsilon})] \quad (14)$$

where, $\psi(\cdot)$ is a monotone increasing function. $\psi(\cdot)$ is called the frequency interpolation function and \hat{f}_1 is the first interpolated frequency estimate.

The requirement that \hat{f}_1 has zero error in the noiseless case is,

$$\psi[D(\varepsilon, \hat{\varepsilon})] = \varepsilon - \hat{\varepsilon}, \text{ for } -1 \leq D \leq 1. \text{ Therefore, } \psi^{-1}(\varepsilon - \hat{\varepsilon}) = D(\varepsilon, \hat{\varepsilon}).$$

25

THE FREQUENCY INTERPOLATION FUNCTION

En esta página no se respeta un gran número de recomendaciones y los resultados del ROC no son utilizables, a saber:

- Las fórmulas matemáticas integradas no se han separado de los párrafos de texto (párrafo 22)
- Se utilizan caracteres inusuales en párrafos de texto (párrafo 35)
- Combinación de caracteres en cursiva con caracteres griegos (párrafo 38)

La forma correcta de presentar esta página sería utilizar espacios adicionales para las fórmulas integradas de los párrafos. No deberían ponerse en cursiva las letras griegas de las fórmulas y párrafos. Deberían evitarse los acentos circunflejos (^) a los fines de denotar variables en los párrafos de texto; en lugar de ello pueden utilizarse superíndices: debería pues representarse la epsilon con acento circunflejo como ε^{\wedge} o $\varepsilon^{\text{acento circunflejo}}$.

SCIT/SDWG/8/4
Anexo
Apéndice 2, página 21

19. *Página con caracteres en cursiva y subrayados en la que no se cumplen las recomendaciones*

WO 2006/038001

PCT/GB2005/003827

- 132 -

2-(3-{[5-Chloro-4-(1*H*-indol-3-yl)pyrimidin-2-yl]amino}piperidin-1-yl)-*N*-methylacetamide (S Enantiomer)

LCMS 399/401 [M+H]⁺, RT 1.88 min.

EXAMPLE 320

5 3-{[5-Chloro-4-(1*H*-indol-3-yl)pyrimidin-2-yl]amino}-*N*-isopropylpiperidine-1-carboxamide (Enantiomer 1)

LCMS 413/415 [M+H]⁺, RT 3.20 min.

EXAMPLE 321

10 3-{[5-Chloro-4-(1*H*-indol-3-yl)pyrimidin-2-yl]amino}-*N*-isopropylpiperidine-1-carboxamide (Enantiomer 2)

LCMS 413/415 [M+H]⁺, RT 3.19 min.

EXAMPLE 322

2-[3-[(4-{[5-Chloro-4-(1*H*-indol-3-yl)pyrimidin-2-yl]amino}piperidin-1-yl)carbonyl]pyrrolidin-1-yl]-*N*-methylacetamide (Racemate)

15 LCMS (pH 5.8) 496/498 [M+H]⁺, RT 2.79 min.

Se trata de un ejemplo que se plantea con frecuencia en cuanto a páginas con problemas de ROC que se observan en la publicación PCT. En esta página no se respetan las siguientes normas:

- Párrafo 37: Los textos no deben subrayarse. Se recomienda muy particularmente no utilizar el subrayado en las fórmulas químicas (los diccionarios no ayudan en esos casos). Eso causa problemas muy particularmente con todos los caracteres que están pegados al subrayado: l) y p... no se reconocen correctamente.
- Párrafo 38: No se recomienda utilizar caracteres en cursiva. Además se recomienda muy particularmente que no se cambie el estilo de los caracteres dentro de una misma palabra (con frecuencia, los sistemas de ROC parten de que todos los caracteres de una palabra son del mismo estilo). A raíz de ello se reconocen defectuosamente todos los "1*H*" y "-*N*".

SCIT/SDWG/8/4
Anexo
Apéndice 2, página 22

20. Página completamente ilegible

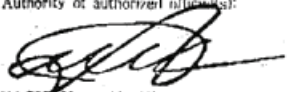
WO 2005/071074

PCT/KR2005/000214

BURDUPST TREATY ON THE INTERNATIONAL RECOGNITION OF THE DEPOSIT
OF MICROORGANISMS FOR THE PURPOSE OF PATENT PROCEDURE

INTERNATIONAL FORM -
RECEIPT IN THE CASE OF AN ORIGINAL DEPOSIT
issued pursuant to Rule 7.1

TO : Maxam Biotechnology Research Institute
#311, Hujung-ro, Kimsung-eup, Yongin-city, Kyonggi-do 449-910,
Republic of Korea

I. IDENTIFICATION OF THE MICROORGANISM	
Identification reference given by the DEPOSITOR: Saccharomyces cerevisiae HJ3501 / MBLK8 #36	Accession number given by the INTERNATIONAL DEPOSITARY AUTHORITY: KCTC 10582HP
II. SCIENTIFIC DESCRIPTION AND/OR PROPOSED TAXONOMIC DESIGNATION	
The microorganism identified under I above was accompanied by: <input checked="" type="checkbox"/> a scientific description <input type="checkbox"/> a proposed taxonomic designation (Mark with a cross where applicable)	
III. RECEIPT AND ACCEPTANCE	
This International Depositary Authority accepts the microorganism identified under I above, which was received by it on January 13 2004 .	
IV. RECEIPT OF REQUEST FOR CONVERSION	
The microorganism identified under I above was received by this International Depositary Authority on _____ and a request to convert the original deposit to a deposit under the Budapest Treaty was received by it on _____	
V. INTERNATIONAL DEPOSITARY AUTHORITY	
Name: Korean Collection for Type Cultures Address: Korea Research Institute of Bioscience and Biotechnology (KRIHBI) #52, Oun-dong, Yusong-ku, Taejeon 305-385, Republic of Korea	Signature(s) of person(s) having the power to represent the International Depositary Authority of authorized official(s):  PARK Yong-Ha Director Date: January 17 2004

Form IBS-INTC Form 10 1/10 2004

Esta página no debería ser aceptada por las oficinas; ha sido enviada por fax con una resolución de 200 dpi y no es legible. En esos casos, los agentes deben partir de que todo contenido de la página constituye una imagen por cuanto no se puede extraer texto alguno.

[Fin del Apéndice 2 y del documento]